

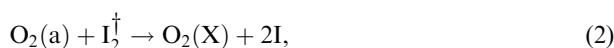
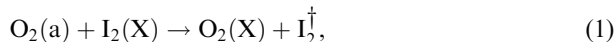
Вероятности образования колебательно-возбужденных молекул иода в процессе $I(^2P_{1/2}) + I_2(X) \rightarrow I(^2P_{3/2}) + I_2(X, v > 10)$

В.Н.Азязов, С.Ю.Пичугин

Выполнены расчет и анализ колебательных распределений молекул $I_2(X, v)$ ($0 \leq v \leq 45$) для условий активной среды кислородно-иодного лазера. Из сравнения расчетных величин с экспериментальными данными найдено, что в ходе реакции $I(^2P_{1/2}) + I_2(X) \rightarrow I(^2P_{3/2}) + I_2(X, v > 10)$ вероятность образования молекул $I_2(X, v > 23)$ равна 0.1, а суммарная вероятность прямого возбуждения молекул иода на колебательные уровни с 15 по 23 составляет 0.9. На основе полученных данных осуществлен анализ механизмов диссоциации молекул иода в активной среде кислородно-иодного лазера.

Ключевые слова: колебательное возбуждение молекул, кислородно-иодный лазер, диссоциация I_2 .

Одной из нерешенных проблем кинетики процессов в химическом кислородно-иодном лазере (ХКИЛ) является диссоциация молекулярного иода в присутствии синглетного кислорода. Здесь и далее $O_2(X)$, $O_2(a)$ и $O_2(b)$ – молекулы кислорода в электронных состояниях $X^3\Sigma_g^-$, а ${}^1\Delta_g$ и $b^1\Sigma_g^+$; I , I^* – атомы иода в состояниях ${}^2P_{3/2}$ и ${}^2P_{1/2}$; $I_2(X)$, $I_2(A')$ и $I_2(A)$ – молекулы иода в состояниях $X^1\Sigma_g^+$, $A'{}^3\Pi_{2u}^+$ и $A{}^3\Pi_{1u}^+$. На сегодняшний день установлено, что процесс диссоциации имеет инициирующую и цепную стадии и что в этом процессе задействовано промежуточное возбужденное состояние I_2 . Однако не выявлено, какое из возбужденных состояний I_2 является промежуточным и не определен механизм накачки этого состояния. В стандартном кинетическом пакете (СКП) химического кислородно-иодного лазера [1] диссоциация I_2 на инициирующей стадии описывается последовательностью процессов



где I_2^\dagger – молекулы иода в основном состоянии $I_2(X)$, находящиеся на уровнях с колебательными квантовыми числами $v > 20$. За инициирующей стадией развивается цепная стадия, описываемая последовательностью процессов



В дальнейшем данную модель будем называть стандартной моделью диссоциации. Экспериментальные данные

В.Н.Азязов, С.Ю.Пичугин. Самарский филиал Физического института им. П.Н.Лебедева РАН, Россия, 443011, Самара, ул. Ново-Садовая, 221; e-mail: azyazov@fian.smr.ru, theor@fian.smr.ru, laser@fian.smr.ru

Поступила в редакцию 7 февраля 2008 г., после доработки – 6 мая 2008 г.

[2–4] ставят под сомнение надежность этой модели. В частности в [2] показано, что кинетика дезактивации колебательно-возбужденных молекул I_2 не соответствует кинетике релаксации промежуточного состояния I_2^\dagger в СКП. Более того, приведенные в СКП константы скоростей реакций дезактивации I_2^\dagger на компонентах активной среды ХКИЛ (O_2 , Ar, He, H_2O) больше характерны для релаксации электронно-возбужденного состояния [2, 3]. К тому же измеренная в [4] константа скорости тушения $O_2(a)$ молекулами $I_2(X)$ (процесс (1)) по меньшей мере на порядок ниже, чем принято в СКП.

С другой стороны, разработчики стандартной модели диссоциации [1, 5–9] приводят данные, свидетельствующие в пользу своей модели. В частности в работе [5] экспериментально показано, что в реакции (4) образуются колебательно-возбужденные молекулы иода $I_2(X, 25 < v < 43)$. Возбужденные атомы иода генерировались при фотолизе смесей I_2 –Ar на длине волны 475 нм или CF_3I – I_2 –Ar на длине волны 266 нм. Молекулы $I_2(X, v)$ регистрировались с использованием лазерно-индукционной флуоресценции (ЛИФ) на переходе $I_2(B \leftarrow X)$. В работах [6, 7] колебательно-возбужденные молекулы $I_2(X, v)$ были обнаружены в смеси I_2 – $O_2(a)$ – O_2 также с использованием ЛИФ-методики. В этих экспериментах $O_2(a)$ нарабатывался в разрядном генераторе синглетного кислорода, на выходе из которого в кислородный поток инжектировались пары I_2 . В присутствии $O_2(a)$ происходила диссоциация молекул иода. Возбужденный атомарный иод образовывался в ходе ЕЕ-передачи энергии в процессе (3). В работе [6] удалось зарегистрировать колебательно-возбужденные молекулы $I_2(X, 33 \leq v \leq 44)$, возникающие в ходе процесса (4). В работах [7, 8] экспериментально определено распределение абсолютных концентраций молекул иода по колебательным уровням в диапазоне $5 \leq v \leq 45$.

Вероятности γ_v образования в реакции (4) молекул $I_2(X)$ на v -м колебательном уровне являются важными параметрами в стандартной модели диссоциации. К сожалению, до сих пор их измерений проведено не было. В работе [10] приведено распределение γ_v в относительных единицах для колебательных уровней v из диапазона

$24 \leq v \leq 47$, полученное на основе анализа результатов измерений относительных населенностей $I_2(X, v)$. В настоящей работе нами предпринята попытка определения величин γ_v из сравнения расчетных и измеренных в экспериментах [5–8] значений населенностей колебательных уровней молекул иода и скоростей диссоциации I_2 .

Прежде всего, пользуясь данными работы [6], оценим суммарную вероятность $\Gamma_{v \geq 33}$ образования молекул $I_2(X, v \geq 33)$ в реакции (4). В [6] при инжектировании молекулярного иода в поток кислорода, содержащего 6 % $O_2(a)$, были зафиксированы молекулы $I_2(X)$, возбужденные на колебательные уровни с $v = 33$ и выше. При этом квазистационарное отношение концентрации этих молекул $N_{v \geq 33}$ к концентрации возбужденных атомов иода N_{I^*} составило 4×10^{-4} . Квазистационарное значение $N_{v \geq 33}$ определяется из баланса скоростей образования молекул $I_2(X, v \geq 33)$ в реакции (4) и их убыли в процессах диссоциации (2) и колебательной VT-релаксации $I_2(X, v) + O_2 \rightarrow I_2(X, v - 1) + O_2$. На основе данного утверждения получим

$$N_{v \geq 33} K_4 N_{I^*} N_{I_2} = N_{v \geq 33} (K_d N_a + K_{v \geq 33} N_{O_2}).$$

Здесь $N_{I^*}, N_{I_2}, N_a, N_{O_2}$ – концентрации I^* , I_2 , $O_2(a)$ и $O_2(X)$; $K_4 = 3.8 \times 10^{-11} \text{ см}^3/\text{с}$ – константа скорости реакции (4) [1]; K_d – константа скорости процесса (2); $K_{v \geq 33}$ – эффективная константа скорости дезактивации молекул $I_2(X, v \geq 33)$ при столкновениях с молекулами O_2 . Отсюда

$$\Gamma_{v \geq 33} = \frac{N_{v \geq 33}}{N_{I^*}} \frac{N_{O_2}}{N_{I_2}} \left(\frac{K_d}{K_4} \frac{N_a}{N_{O_2}} + \frac{K_{v \geq 33}}{K_4} \right).$$

Подставив в это выражение значения $N_{v \geq 33}/N_{I^*} \approx 4 \times 10^{-4}$, $N_{O_2}/N_{I_2} \approx 10^3$, $N_a/N_{O_2} = 0.06$ из [6] и $K_{v \geq 33} \approx 6 \times 10^{-12} \text{ см}^3/\text{с}$ [10], $K_d \approx 3 \times 10^{-11} \text{ см}^3/\text{с}$ [11], получим $\Gamma_{v \geq 33} \approx 0.08$.

Нами были также проведены расчеты населенностей колебательных уровней молекул $I_2(X, v)$ в условиях экспериментов [5]. В работе [5] исследовалось образование колебательно-возбужденных молекул иода при взаимодействии $I_2(X)$ с атомами I^* , образующимися при фотодиссоциации молекул CH_3I в предварительно перемешанной смеси CH_3I – I_2 – Ar . В экспериментах [5] были зафиксированы колебательно-возбужденные молекулы $I_2(X, v = 26–42)$ и измерена концентрация молекул иода, возбужденных на уровень с $v = 40$. В наших расчетах предполагалось, что в процессе тушения I^* молекулами $I_2(X)$ молекулы $I_2(X, v)$ образовывались на уровнях с $v > 23$ с вероятностью $\gamma_v = a_v \Gamma_{v > 23}$, где $\Gamma_{v > 23}$ – суммарная вероятность образования молекул $I_2(X, v > 23)$ в реакции (4), a_v – относительная вероятность образования молекул $I_2(X)$ на v -м колебательном уровне (значения a_v для $v > 23$ брались из работы [10], рис.1). При расчете концентраций молекул $I_2(X, v)$ величина $\Gamma_{v > 23}$ варьировалась. Хорошее согласие с экспериментальными данными [5] достигалось при $\Gamma_{v > 23} \approx 0.1$, тогда как, например, при $\Gamma_{v > 23} \approx 0.9$ расчетные концентрации молекул $I_2(X, v = 40)$ на порядок превышали экспериментально измеренные. При этом приведенная выше оценка $\Gamma_{v \geq 33} \approx 0.08$ вполне согласуется с величиной $\Gamma_{v > 23} \approx 0.1$, т. к. суммарная вероятность образования молекул $I_2(X, v = 24–32)$ в реакции (4) мала по сравнению с $\Gamma_{v \geq 33}$ (см. рис.1). Из рис.1 следует, что положение вершины в распределении γ_v в интервале $23 < v < 48$ приходится на уровень с $v = 40$.

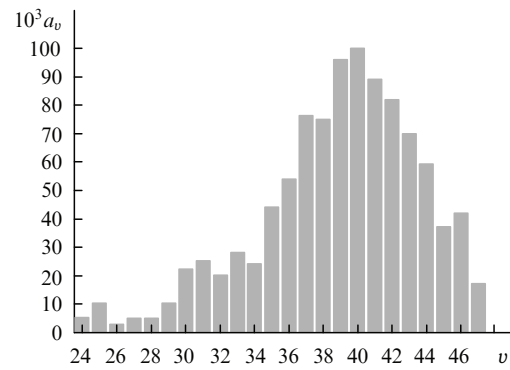
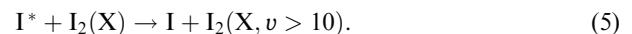


Рис.1. Зависимость относительных вероятностей a_v образования молекул $I_2(X, v > 23)$ в реакции (4) от номера колебательного уровня v [10].

Таким образом, нами показано, что суммарная вероятность $\Gamma_{v > 23}$ образования молекул $I_2(X, v > 23)$ при тушении I^* молекулами $I_2(X)$ составляет 0.1. Стандартная модель диссоциации при $\Gamma_{v > 23} \approx 0.1$ не в состоянии обеспечить наблюдаемые скорости распада I_2 . В этом случае, если верна данная модель, число молекул синглетного кислорода, необходимое для диссоциации одной молекулы I_2 , должно быть больше 20, что противоречит эксперименту. В [12] показано, что в условиях экспериментов этой работы на диссоциацию одной молекулы иода тратилось 4.2 молекулы $O_2(a)$.

В экспериментах, описанных в [7, 8], обнаружено, что концентрация молекул $I_2(X, v = 11–23)$, образующихся через время $t \approx 10^{-3}$ с после инжектирования молекулярного иода в поток кислорода, содержание синглетного кислорода в котором составляло около 10 %, значительно превышает концентрацию колебательно-возбужденных молекул иода с $v \geq 30$. Такие большие населенности колебательных уровней $I_2(X, v)$ при $10 < v \leq 23$ для малых t могут объясняться только их прямой накачкой в ходе реакции



Нами были проведены расчеты населенностей колебательных уровней молекул $I_2(X, v = 0–45)$ для условий экспериментов работы [8]: исходный состав смеси $O_2(X)$: $O_2(a):I_2 = 0.92:0.08:0.0475$ Тор, начальная скорость потока $U_0 = 10.8 \text{ м/с}$, начальная температура газовой смеси $T_0 = 300 \text{ К}$. При этом проводилось численное решение уравнений для относительных концентраций $\eta_v = n_v/N_{O_2}$, $\eta_{I^*} = [I^*]/N_{O_2}$, $\eta_{I_2} = [I_2]/N_{O_2}$ и $\eta_a = [O_2(a)]/N_{O_2}$:

$$\frac{d\eta_v}{dx} = \frac{(N_{O_2})_0}{U_0} \left(\frac{T_0}{T} \right)^2 (K_{v+1 \rightarrow v}^{O_2} \eta_{v+1} + K_{v-1 \rightarrow v}^{O_2} \eta_{v-1} - K_{v \rightarrow v-1}^{O_2} \eta_v - K_{v \rightarrow v+1}^{O_2} \eta_v) \quad (v < 8),$$

$$\begin{aligned} \frac{d\eta_v}{dx} = \frac{(N_{O_2})_0}{U_0} \left(\frac{T_0}{T} \right)^2 (\gamma_v K_4 \eta_{I_2} \eta_{I^*} + K_{v+1 \rightarrow v}^{O_2} \eta_{v+1} \\ + K_{v-1 \rightarrow v}^{O_2} \eta_{v-1} - K_{v \rightarrow v-1}^{O_2} \eta_v - K_{v \rightarrow v+1}^{O_2} \eta_v) \quad (8 \leq v < 25), \end{aligned}$$

$$\begin{aligned} \frac{d\eta_v}{dx} = \frac{(N_{O_2})_0}{U_0} \left(\frac{T_0}{T} \right)^2 (\gamma_v K_4 \eta_{I_2} \eta_{I^*} + K_{v+1 \rightarrow v}^{O_2} \eta_{v+1} \\ + K_{v-1 \rightarrow v}^{O_2} \eta_{v-1} - K_{v \rightarrow v-1}^{O_2} \eta_v - K_{v \rightarrow v+1}^{O_2} \eta_v) \quad (25 \leq v < 45). \end{aligned}$$

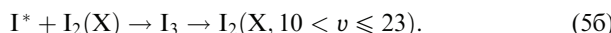
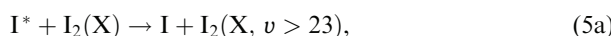
$$+ K_{v-1-v}^{O_2} \eta_{v-1} - K_{v-v-1}^{O_2} \eta_v - K_{v-v+1}^{O_2} \eta_v - K_d \eta_v \eta_a) \quad (v \geq 25),$$

где $K_{v-v'}^{O_2}$ – константа скорости процесса $I_2(X, v) + O_2 \rightarrow I_2(X, v') + O_2$. При этом полагалось, что $K_{v-v-1}^{O_2} = v \times (2.7 \times 10^{-12}) \text{ см}^3/\text{с}$ [10], а константы скоростей обратных процессов находились из соотношений детального баланса. В приведенных уравнениях N_{ox} – концентрация молекул кислорода во всех электронных состояниях; n_v – концентрация молекул $I_2(X)$ на v -м колебательном уровне; U – скорость газового потока; индекс 0 соответствует начальным значениям параметров. Уравнения для переменных T , η_{I^*} , η_a и η_{I_2} для краткости не приводятся. Их явный вид дан, например, в работе [13].

Было выяснено, что удовлетворительное согласие между расчетными и экспериментальными значениями населенности $I_2(X, v)$ достигается тогда, когда суммарная вероятность возбуждения колебательных уровней из диапазона $15 \leq v \leq 23$ в реакции (5) составляет 0.8–0.9. На рис. 2 приведены расчетные значения населенности молекул $I_2(X, v)$ при $\Gamma_{v>23} = 0.1$ и $\Gamma_{15 \leq v \leq 23} = \sum_{15}^{23} \gamma_i = 0.9$, где $\gamma_{15} = \dots = \gamma_{19} = 0$, $\gamma_{20} = \dots = \gamma_{23} = 0.225$, и экспериментально измеренные концентрации $I_2(X, v)$. Видно, что результаты расчетов хорошо согласуются с экспериментальными данными. При этом, если положить в расчетах $\Gamma_{15 \leq v \leq 23} = 0$, расчетные значения концентраций молекул $I_2(X, 15 \leq v \leq 23)$ (штриховая кривая на рис.2) будут на порядок меньше экспериментально измеренных.

На рис.2 приведены результаты расчетов населенности молекул $I_2(X, v)$ для случая равномерного распределения суммарной вероятности $\Gamma_{20 \leq v \leq 23} = 0.9$ по колебательным уровням v от 20 до 23. Мы проводили расчеты с различными видами распределения γ_v по уровням, в которых вершина приходилась на один из колебательных уровней из интервала $v = 20 - 22$. Как показали результаты расчетов, итоговое распределение n_v слабо зависит от выбранного распределения γ_v и сильно – от суммарных вероятностей $\Gamma_{v>23}$ и $\Gamma_{15 \leq v \leq 23}$.

Необычное двухвершинное распределение γ_v можно объяснить двумя различными механизмами протекания реакции (5):



В реакции (5a) в ходе EV-передачи энергии образуются

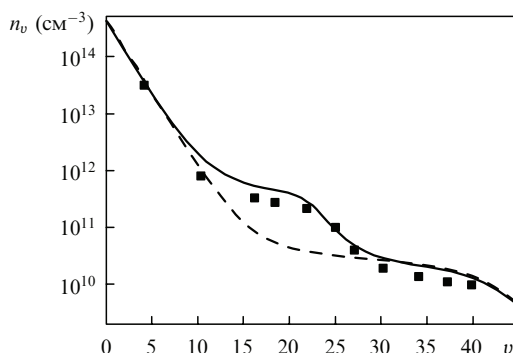
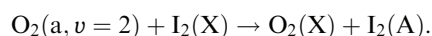
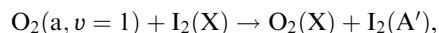


Рис.2. Населенности молекул $I_2(X, v)$ на расстоянии 3 см от места инъектирования иода в поток кислорода. Сплошная линия – результаты расчетов при $\Gamma_{v>23} = 0.1$ и $\Gamma_{15 \leq v \leq 23} = 0.9$, штриховая – при $\Gamma_{v>23} = 0.1$ и $\Gamma_{15 \leq v \leq 23} = 0$; точками обозначены экспериментальные данные из работы [8].

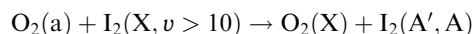
колебательно-возбужденные молекулы $I_2(X, v > 23)$ с тем же распределением по колебательным уровням, что и приведенное на рис.1, с максимумом при $v = 40$. Химическая реакция (5b) протекает с образованием промежуточного комплекса I_3 [14]. Доля теплоты химической реакции, приходящаяся на колебательное возбуждение продуктов, как правило, меньше, чем при EV-процессе [15]. Полученное двухвершинное распределение позволяет предположить, что для реакций (5a) и (5b) коэффициенты ветвления равны примерно 0.1 и 0.9 соответственно.

Итак, в данной работе найдено, что суммарная вероятность образования молекул $I_2(X, v > 23)$ в реакции $I^* + I_2(X) \rightarrow I + I_2(X, v > 10)$ составляет 0.1. Стандартная модель при $\Gamma_{v>23} \approx 0.1$ не в состоянии объяснить наблюданную скорость диссоциации I_2 в среде кислородно-иодного лазера. Экспериментально наблюдаемые большие населенности колебательных уровней $I_2(X, v)$ при $v = 11 - 23$ могут быть объяснены только их прямойнакачкой в ходе тушения атомов I^* молекулами $I_2(X)$. Было установлено, что удовлетворительное согласие между расчетными значениями населенности молекул $I_2(X, v)$ и экспериментальными данными достигается тогда, когда суммарная вероятность возбуждения колебательных уровней с $v = 15 - 23$ в реакции (5) составляет 0.9.

Результаты данной работы свидетельствуют о том, что стандартная модель диссоциации, в которой промежуточным состоянием является основное электронное состояние $I_2(X, v > 20)$ колебательно-возбужденной молекулы иода, не может объяснить высокие скорости диссоциации иода в активной среде ХКИЛ. Следует обратить большее внимание на модель диссоциации иода, предложенную в работах [16–18], в которой промежуточными состояниями служат нижние электронно-возбужденные состояния иода $I_2(A')$ и $I_2(A)$. Данные состояния заселяются в ходе передачи энергии возбуждения от колебательно-возбужденных молекул синглетного кислорода в процессах



В недавних работах [19–21] показано, что в активной среде ХКИЛ среднее число колебательных квантов, приходящихся на одну молекулу кислорода, может достигать 0.3–0.4. Отметим, что суммарная энергия участвующих в столкновении частиц в процессе



также достаточна для возбуждения нижних электронно-возбужденных состояний молекулярного иода. Этот процесс может вносить существенный вклад в диссоциацию иода при высоких концентрациях I_2 [22].

- Peggam G.P. *Int. J. Chem. Kinet.*, **27**, 817 (1995).
- Heaven M.C., Komissarov A.V., Goncharov V. *Proc. SPIE Int. Soc. Opt. Eng.*, **4631**, 13 (2002).
- Lilenfeld H.V. *Final Report of McDonnell Douglas Research Laboratories AFWL-TR-83-1* (1983).
- Han J., Komissarov A.V., Tinney S.P., Heaven M.C. *Proc. SPIE Int. Soc. Opt. Eng.*, **4971**, 45 (2003).
- Hall G.E., Marinelli W.J., Houston P.L. *J. Phys. Chem.*, **87**, 2153 (1983).
- Van Bentem M.H., Davis S.J. *J. Phys. Chem.*, **90**, 902 (1986).

7. Barnault B., Bouvier A.J., Pigache D., Bacis R. *J. de Physique IV*, **1**, C7-647 (1991).
8. Barnault B. *Etude Experimentale et Theorique de la Reaction Iode-oxygen Singlet en Vue de la Realisation d'un Laser Chimique de Puissance* (France: Onera, 1992).
9. Heidner R.F., Gardner C.E., Segal G.I., El-Sayed T.M. *J. Phys. Chem.*, **87**, 2348 (1983).
10. Lawrence W.G., Van Marter T.A., Nowlin M.L., Heaven M.C. *J. Chem. Phys.*, **106**, 127 (1997).
11. David D., Joly V., Fausse A. *Proc. in Phys.* (Berlin: Springer-Verlag, 1987, v. 15, p. 156).
12. Rybalkin V., Katz A., Waichman K., Vingurt D., Dahan Z., Barmashenko B., Rosenwaks S. *Appl. Phys. Lett.*, **89**, 021115 (2006).
13. Azyazov V.N., Pichugin S.Yu. *Proc. SPIE Int. Soc. Opt. Eng.*, **6611**, 661109 (2007).
14. Cline J.I., Leone S.R. *J. Phys. Chem.*, **95**, 2917 (1991).
15. Башкин А.С., Игошин В.И., Ораевский А.Н., Щеглов В.А. *Химические лазеры* (М.: Наука, 1982, с. 30).
16. Azyazov V.N., Heaven M.C. *AIAA J.*, **44**, 1593 (2006).
17. Азязов В.Н., Игошин В.И., Куприянов Н.Л. *Кр. сооб. физ. ФИАН*, № 1-2, 24 (1992).
18. Азязов В.Н., Сафонов В.С., Уфимцев Н.И. *Квантовая электроника*, **30**, 687 (2000).
19. Азязов В.Н., Антонов И.О., Пичугин С.Ю., Сафонов В.С., Свистун М.И., Уфимцев Н.И. *Квантовая электроника*, **33**, 811 (2003).
20. Antonov I.O., Azyazov V.N., Pichugin S.Yu., Ufimtsev N.I. *Chem. Phys. Lett.*, **376**, 168 (2003).
21. Azyazov V.N., Mikheyev P.A., Ufimtsev N.I., Fomin E.V., Antonov I.O., Heaven M.C. *J. Appl. Phys.*, **102**, 123128 (2007).
22. Azyazov V.N., Pichugin S.Yu., Heaven M.C. *Proc. SPIE Int. Soc. Opt. Eng.*, **6874**, 687404 (2008).